

На правах рукописи

КОЛОДИН Алексей Никитич

**ЗАКОНОМЕРНОСТИ ФОРМИРОВАНИЯ НАНОЧАСТИЦ  
СУЛЬФИДА КАДМИЯ И ПЛЕНОК НА ИХ ОСНОВЕ В ВОДНЫХ  
И ОБРАТНОМИЦЕЛЛЯРНЫХ СИСТЕМАХ**

02.00.04 – физическая химия

**АВТОРЕФЕРАТ  
диссертации на соискание ученой  
степени кандидата химических наук**

Новосибирск – 2018

Работа выполнена в Федеральном государственном бюджетном учреждении науки Институте неорганической химии им. А.В. Николаева Сибирского отделения Российской академии наук (ИНХ СО РАН)

**Научный руководитель:**  
доктор химических наук, заведующий лабораторией  
Булавченко Александр Иванович

**Официальные оппоненты:**  
член-корреспондент РАН, главный научный сотрудник  
Ремпель Андрей Андреевич  
ФГБУН Институт химии твердого тела УрО РАН,  
г. Екатеринбург

доктор химических наук, главный научный сотрудник  
Михлин Юрий Леонидович  
ФГБУН Институт химии и химической технологии СО РАН,  
г. Красноярск

**Ведущая организация:**  
ФГБУН Институт химии твердого тела и механохимии СО РАН,  
г. Новосибирск

защита состоится «16» мая 2018 г. в 10.00 часов  
на заседании диссертационного совета Д 003.051.01  
в ФГБУН Институте неорганической химии им. А.В. Николаева СО РАН  
по адресу: просп. Акад. Лаврентьева, 3, Новосибирск, 630090

С диссертацией можно ознакомиться в библиотеке  
ФГБУН Института неорганической химии им. А.В. Николаева СО РАН  
и на сайте организации по адресу:  
<http://www.niic.nsc.ru/institute/dissertatsionnyj-sovet/>

Автореферат разослан «20» марта 2018 г.

Ученый секретарь  
диссертационного совета  
доктор физико-математических наук

В.А. Надолинный

## ОБЩАЯ ХАРАКТЕРИСТИКА РАБОТЫ

**Актуальность работы.** Сульфид кадмия является полупроводниковым материалом, широко использующимся в различных высокотехнологичных приложениях солнечной энергетики, фотокатализе и микроэлектроники. Трансформация CdS в наноструктурированное состояние в виде наночастиц-квантовых точек и тонких пленок приводит к появлению новых уникальных оптических и фотоэлектрических свойств.

Стабильные концентрированные органо- и гидрозоли «свободных» (т.е. не связанных коагуляционными контактами и совершающих броуновское движение) наночастиц CdS являются перспективными кандидатами на роль наночернил для 2D печати, компонентов для создания композитных материалов с равномерным распределением квантовых точек по всему объему композита. Таким образом, исследование закономерностей образования наночастиц CdS и поиск новых синтетических систем являются актуальной задачей.

**Степень разработанности темы.** На данный момент в литературе представлено огромное число публикаций, посвященных наночастицам CdS (по нашим оценкам, полученным на основе данных ряда поисковых систем, по степени популярности наночастицы CdS делят почетное третье место с наночастицами SiO<sub>2</sub>, отдавая пальму первенства лишь наночастицам Au и Ag). Наночастицы CdS получены методами осаждения из газовой (**CVD**) и водной фаз – **chemical bath deposition (CBD)** с использованием различных сульфидизаторов (H<sub>2</sub>S, Na<sub>2</sub>S, (NH<sub>4</sub>)<sub>2</sub>S, SC(NH<sub>2</sub>)<sub>2</sub>, C<sub>2</sub>H<sub>5</sub>CS, Na<sub>2</sub>S<sub>2</sub>O<sub>3</sub>). При этом по технологии CBD синтез проводился как в «обычных» водных растворах, так и в ограничивающих полостях разнообразных нанореакторов: обратных и прямых мицелл поверхностью-активных веществ (**ПАВ**), гелях и полимерных матрицах.

Множество работ посвящено исследованию структуры и морфологии пленок, полученных из наночастиц CdS, а также демонстрации возможностей их практического использования [1,2]. Тем не менее, несмотря на хорошую изученность, ряд принципиальных вопросов касательно синтеза наночастиц и их характеризации остается нерешенным, в том числе:

- возможность получения стабильных концентрированных органозолей наночастиц CdS с кинетически контролируемым размером;
- влияние «объемного» зародышеобразования частиц CdS в водных растворах на формирование тонких поверхностных пленок CdS;
- получение покрытий на основе CdS с регулируемой смачиваемостью.

**Цель работы** заключалась в проведении сравнительного исследования механизмов образования и роста наночастиц CdS в полярных полостях обратных мицелл Tergitol NP-4\* в *n*-декане, в водных растворах

---

\* Tergitol NP-4 – 4-нонилфенол этоксилат (неиногенный ПАВ).

в отсутствие стабилизатора и на поверхности полистирольных подложек при использовании одних и тех же реагентов (тиомочевины и CdCl<sub>2</sub>). Для достижения данной цели были поставлены следующие **задачи**:

- разработка методики получения стабильных концентрированных органозолей наночастиц CdS с кинетически контролируемым размером, включая:
  - исследование кинетики процессов зародышеобразования и роста наночастиц в обратномицелярных растворах Tergitol NP-4 в *n*-декане;
  - формирование поверхностного заряда и выделение концентрированного органозоля методом неводного электрофореза;
- исследование процессов образования и роста частиц CdS в объеме водно-аммиачного раствора и на поверхности полистирольной подложки в отсутствии стабилизаторов;
- изучение смачиваемости полученных подложек в зависимости от степени заполнения и шероховатости;
- оценка возможности использования органозолей и пленок CdS фотокаталитических и фотовольтаических устройствах.

**Научная новизна.** На основании экспериментальных данных спектрофотометрии, фотон-корреляционной спектроскопии (**ФКС**) и просвещающей электронной микроскопии (**ПЭМ**) предложена кинетическая модель реакции тиомочевинного синтеза наночастиц CdS в обратных мицеллах Tergitol NP-4 в *n*-декане. В рамках кинетической модели получено уравнение для расчета текущего фактического диаметра наночастиц CdS в органозолях.

Методами спектрофотометрии, статического светорассеяния (**SLS**) и ФКС определены качественные закономерности формирования и роста частиц CdS в отсутствии стабилизаторов в водно-аммиачном растворе.

На примере пленок CdS предложен общий подход оценки равновесных краевых углов и энергетических характеристик гладких химически однородных поверхностей, основанный на моделях Вентцеля, Оуэнса-Вендта и Ву. Найдены значения краевых углов, работы адгезии, удельной свободной поверхностной энергии и коэффициентов растекания различных растворителей на гладкой химически однородной поверхности CdS. На основании термодинамических подходов показана возможность создания гидрофильных, гидрофобных и супергидрофобных систем CdS.

**Практическая значимость.** Разработанный способ синтеза стабильных концентрированных органозолей наночастиц CdS может быть использован для получения сольвентных наночернил с квантовыми точками для 2D-печати. Полученные микроэмulsionи и пленки представляют интерес в качестве активных элементов в фотокаталитических и фотовольтаических устройствах. Оригинальная методика определения шероховатости пленок, образованных наночастицами, дает возможность рас-

считывать термодинамические параметры гладких, химически однородных поверхностей различных материалов и конструировать поверхности с заданной смачиваемостью. Численные значения работ адгезии и удельных свободных поверхностных энергий могут быть использованы для оценки работ образования критических зародышей в условиях гомогенной и гетерогенной нуклеаций.

**Методология и методы диссертационного исследования.** Методология исследования включала в себя комплексное изучение современными физико-химическими методами динамики роста частиц CdS в процессе тиомочевинного синтеза в отсутствии и при наличии мицеллярного окружения, а также характеристизацию полученных дисперсных систем: органозолей и пленок.

Рост частиц в жидких фазах исследовали с помощью спектрофотометрии, ПЭМ и ФКС с применением различных алгоритмов обработки автокорреляционной функции. Электрокинетический потенциал наночастиц определяли методом фазового анализа рассеянного света (**PALS**).

Наночастицы на подложках изучали сканирующей электронной микроскопией (**СЭМ**), атомно-абсорбционной спектроскопией (**ААС**), РФА и спектрофлуориметрией, энерго-дисперсионным анализом (**EDX**). Смачиваемость пленок исследовали методом краевых углов; удельные свободные поверхностные энергии рассчитывались с привлечением моделей Оуэнса-Вендта и Ву. Работы адгезии оценивали, используя подход Джирифалко-Гуда-Фоукса, а также уравнение Дюпре-Юнга.

**На защиту выносятся:**

- результаты кинетических исследований тиомочевинного синтеза наночастиц CdS в обратных мицеллах Tergitol NP-4 в *n*-декане: двустадийная модель формирования и роста частиц, значения наблюдаемых констант скорости и энергий активации;
- способ получения стабильных концентрированных органозолей наночастиц CdS с кинетически контролируемыми размерами, включающий синтез и концентрирование наночастиц методом неводного электрофореза;
- результаты исследований процессов роста частиц CdS в объеме водно-аммиачных растворов и на поверхности полистирольных подложек в отсутствии мицеллярного стабилизатора;
- оригинальная методика определения шероховатости пленок и нахождения параметров смачивания гладкой химически однородной поверхности CdS, основанная на подходах Вентцеля, Оуэнса-Вендта и Ву.

**Личный вклад автора.** Все эксперименты с привлечением современных физико-химических методов (ФКС, PALS, SLS, спектрофотометрии, электронной микроскопии и краевых углов), обработка результатов, полученных при исследовании закономерностей образования и роста

наночастиц и пленок CdS в жидких средах и на подложках, а также исследование их свойств выполнены непосредственно автором.

Совместно с научным руководителем соискатель участвовал в постановке цели и задач исследования. Разработка методик синтеза, анализ экспериментальных данных и подготовка к публикации работ по теме диссертации осуществлялись соискателем совместно с научным руководителем и соавторами работ.

**Апробация работы.** Результаты работы представлены на 18-ом конкурсе-конференции научных работ имени академика А.В. Николаева (Новосибирск, 2014), 4-ой Международной конференции «Супрамолекулярные системы на поверхности раздела» (Туапсе, 2015), 6-ой Международной конференции по физической химии краун-соединений, порфиринов и фталоцианинов (Туапсе, 2016), Конкурсе-конференции молодых учёных, посвященной 80-летию со дня рождения Е.В. Соболева (Новосибирск, 2016), Конкурсе-конференции молодых учёных, посвященной 60-летию ИНХ СО РАН (Новосибирск, 2017).

**Публикации.** По теме диссертационной работы опубликованы 3 статьи, из них 2 – в российских рецензируемых журналах, рекомендованных ВАК РФ и 1 статья в рецензируемом зарубежном журнале, все публикации входят в международную базу научного цитирования Web of Science, и 4 тезиса докладов на российских и международных конференциях.

**Степень достоверности результатов исследований.** Результаты работы автор обсуждал на международных и отечественных конференциях с известными специалистами, работающими в области синтеза и исследования органозолей наночастиц и пленок; результаты работы также прошли экспертизу перед опубликованием в рецензируемых научных журналах, согласуются с результатами других исследований и признаны достоверными.

**Соответствие специальности 02.00.04 – физическая химия.** Диссертационная работа соответствует п.п. 3-5 паспорта специальности 02.00.04 – физическая химия.

**Объем и структура работы.** Диссертация состоит из введения, трех глав, заключения с выводами и списка цитируемой литературы, содержащего 165 наименований. Общий объем диссертационной работы составляет 120 страниц, включая 10 таблиц и 36 рисунков.

Работа выполнена в соответствии с Программой фундаментальных исследований ИНХ СО РАН по приоритетному направлению V.44. «Фундаментальные основы химии», программа ФНИ СО РАН V.44.4 «Развитие научных основ новых неорганических и координационных соединений и функциональных материалов на их основе» при поддержке Российского научного фонда (проект № 15-13-00080) и Российского фонда фундаментальных исследований (проект 13-03-12118 офи\_м).

## ОСНОВНОЕ СОДЕРЖАНИЕ ДИССЕРТАЦИИ

**Во введении** указаны актуальность проводимых исследований и цель работы; приведены научная новизна, практическая значимость полученных результатов, а также методология и методы диссертационного исследования; перечислены основные положения, выносимые на защиту.

**Первая глава** диссертации содержит литературный обзор, в котором рассмотрены основные методы получения CdS в виде стабильных золей наночастиц и пленок, описаны основные подходы к описанию смачиваемости твердых поверхностей различной морфологии и химического состава, описана возможность применения золей наночастиц полупроводниковых материалов в качестве фотокаталитических и фотовольтаических систем. Выявлен ряд нерешенных принципиальных вопросов, касающихся механизмов синтеза стабильных наночастиц и пленок, и определены способы их решения, а также направления дальнейших исследований.

На основании критического анализа литературных данных показано, что для получения стабильных органозолей наночастиц с кинетически контролируемым размером наиболее перспективны в качестве реакционной среды мицеллярные нанореакторы, образованные молекулами ПАВ. Для создания пленок CdS с определеннойnano- и микротекстурой – хорошо изученные водные растворы в отсутствие ПАВ-стабилизаторов. В качестве сульфицидизатора в обоих случаях лучше всего подходит тиомочевина, так как в результате терморегулируемого гидролиза  $S^{2-}$  вводится в реакционные среды постепенно. Это дает дополнительную возможность более тонкого регулирования процессов синтеза наночастиц CdS заданного размера, как в полярных полостях обратных мицелл, так и на поверхности подложек.

**Во второй главе** представлена экспериментальная часть работы, включающая описание используемых реагентов, подложек, приборов и установок, исследуемых образцов, методик их получения и характеризации.

### **Синтез наночастиц CdS**

*Мицеллярный синтез наночастиц.* Стабильные органозоли с наночастицами CdS получали при смешивании двух равных объемов (5 мл) мицеллярных растворов Tergitol NP-4 в *n*-декане с исходными реагентами: тиомочевиной (*Thio*) и CdCl<sub>2</sub>. Мицеллярные растворы реагентов готовили путем инъекционной солюбилизации 2 об % водно-аммиачных растворов тиомочевины и CdCl<sub>2</sub> в раствор Tergitol NP-4 в *n*-декане. Концентрация аммиака составляла 4 М, концентрации CdCl<sub>2</sub> и *Thio* в результирующем мицеллярном растворе были равны  $1.8 \times 10^{-3}$  и  $1.8 \times 10^{-2}$  М, соответственно.

Процесс роста наночастиц прерывали разбавлением реакционной смеси раствором АОТ\* в *n*-декане (1:1 по объему). Концентрации Tergitol NP-4

---

\* АОТ – бис-(2-этилгексил) сульфосукцинат натрия (анионный ПАВ).

и АОТ были равными и составляли 0.25 М. Синтезы проводили при постоянной температуре, которую варьировали в диапазоне 313-333К.

«Водный» синтез наночастиц. Частицы CdS получали при смешивании двух равных объемов (5 мл) водно-аммиачных растворов исходных реагентов: тиомочевины и CdCl<sub>2</sub>. Концентрации CdCl<sub>2</sub> и Thio в результирующем растворе были равны  $1.5 \times 10^{-2}$  и  $1.5 \times 10^{-1}$  М, соответственно.

Частицы CdS образовывались как в объеме водных растворов, так и на поверхности вертикально ориентированных полистирольных подложек. Температуру синтеза изменяли от 293 до 313К. Процесс роста наночастиц прерывали резким охлаждением реакционной смеси до комнатной температуры.

В ряде экспериментов исходные растворы и реакционную смесь фильтровали с помощью системы BI-SFS (Brookhaven Inst. Corp., США), оснащенной мембранным политетрафторэтиленовым фильтром со средним размером пор 200 нм (фирмы Sartorius, Германия).

### Исследование динамики роста наночастиц

*Спектрофотометрия.* Электронные спектры поглощения наночастиц регистрировались в процессе синтеза *in situ* на спектрометре Shimadzu 1700 в кварцевых 1 см кюветах. Спектры экситонного поглощения с плохо разрешенным максимумом поглощения соответствовали описанным спектрам поглощения частиц CdS малого размера в золях. Коэффициент экстинкции для CdS в аммиачно-тиомочевинной среде составил  $2.2 \cdot 10^3$  л/(моль·см) на длине волны 400 нм, а в микрэмulsionях Tergitol NP-4 –  $1.09 \cdot 10^3$  л/(моль·см) на длине волны 450 нм.

*Фотон-корреляционная спектроскопия.* Эффективный гидродинамический диаметр наночастиц в органозолях и водно-аммиачных растворах определяли в процессе синтеза *in situ* на спектрометрах 90Plus и NanoBrook Omni (Brookhaven Inst., США). Автокорреляционная функция обрабатывалась с использованием мономодального анализа по методу куммулянтов и полимодального анализа при помощи алгоритма Non-Negatively Constrained Least Squares. Гидродинамический диаметр наночастиц рассчитывался из коэффициентов диффузии по уравнению Стокса-Эйнштейна для частиц сферической формы. Значение диаметра определялось как среднее из 25-50 измерений.

*Просвечивающая электронная микроскопия.* Диаметр ядра наночастиц в органозолях также определяли *ex situ* с помощью электронного микроскопа JEM-2010 с максимальным разрешением 0.2 нм на точку. Для этого необходимо было отделить наночастицы от избытка ПАВ. С этой целью в начале наночастицы CdS концентрировали с помощью неводного электрофореза, затем электрофоретический концентрат разбавляли в 500 раз толуолом. Каплю полученного раствора наносили на мембрану и вы-

сушивали при комнатной температуре. Функцию распределения наночастиц по размеру строили из 100-200 измерений при различных увеличениях.

Электрофоретический концентрат получали методом неводного электрофореза в электрофоретической ячейке с вертикальной ориентацией плоскокапараллельных электродов (площадь каждого составила  $4.2 \text{ см}^2$ ; межэлектродный зазор – 0.8 см). На электроды подавалась разность потенциалов 70-600 В от двух источников постоянного напряжения Б5-50 (Россия), соединенных последовательно.

Для формирования положительного заряда на наночастицах реакционную смесь разбавляли в 2 раза 0.25 М раствором АОТ в *n*-декане. Электрокинетический потенциал ( $\zeta$ -потенциал) наночастиц в органозолях измеряли с помощью метода фазового анализа рассеянного света на угле  $15^\circ$  в специальной ячейке SRR2 спектрометра NanoBrook Omni. Для всех систем зависимости скорости движения наночастиц от напряжения поля были линейными, что свидетельствовало о выполнимости критериев «истинного» электрофореза [3]. Электрофоретическая подвижность определялась из угла наклона, а расчет  $\zeta$ -потенциала производился по формуле Дебая-Хюкеля.

*Сканирующая электронная микроскопия.* Измерение размеров частиц (а также анализ их формы) на полистирольных пластинках проводили с помощью сканирующего электронного микроскопа высокого разрешения JEOL JSM 6700F. Образцы (с предварительно напыленным 3-5 нм слоем Au-Pd) сканировались как под прямым углом к поверхности, так и при повороте образца на угол 75 градусов. Функции распределения частиц по размерам строили по измерениям диаметров 100-500 частиц при различных увеличениях.

Суммарную массу наночастиц определяли после растворения пленки на атомно-абсорбционном спектрофотометре Z-8000 (Hitachi) в воздушно-ацетиленовом пламени на аналитической длине волны Cd<sup>2+</sup> (228.8 нм).

### **Свойства пленок и наночастиц в органозолях**

*Смачиваемость пленок CdS.* Измерения краевых углов на различных подложках проводили на приборе ОСА 15 PRO фирмы Dataphysics (Германия) в режиме лежащей капли. Капли формировали на открытом воздухе при температуре  $298 \pm 1\text{K}$ . В качестве тестовых жидкостей задействовали растворители с разной полярностью: формамид, диэтилгликоль и дистиллированную воду. Для одной капли краевой угол определяли как среднее из 15-30 измерений; капли формировали на 5 разных участках подложки. Полученные значения усредняли.

*Фотокаталитическая активность CdS.* Проводили сравнительное исследование фотокаталитической активности «свободных» наночастиц (с диаметром 9 нм) в мицеллярном растворе АОТ в *n*-декане и наночастиц на полистирольной подложке (170 нм) в водном растворе. В качестве

модели анализировалась фотодеструкция красителя «малахитовый зеленый», концентрация которого для всех систем составляла  $1.1 \cdot 10^{-6}$  М. В первом случае раствор красителя вводился в мицеллы с помощью инъекционной солюбилизации.

Все образцы располагались на расстоянии 7.5 см от источника УФ-излучения (УФ-лампа «Хроматоскоп 3М» мощностью 100 Вт). Динамику процесса деструкции красителя контролировали по изменению оптической плотности во времени с помощью спектрофотометра Shimadzu 1700.

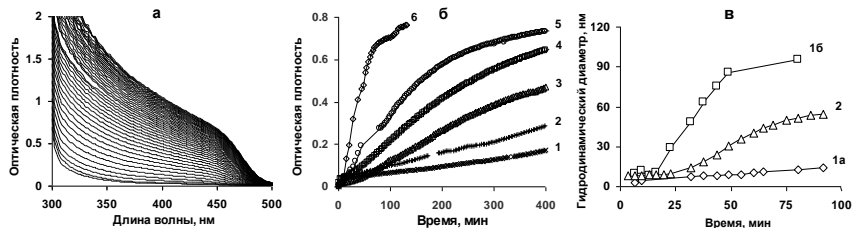
*Фотовольтаические свойства CdS.* Сравнительное исследование фотовольтаических свойств наночастиц, полученных различными способами, проведено с помощью электрохимических ячеек Cd/CdS/Na<sub>2</sub>S<sub>2</sub>/Pt с полисульфидным электролитом (4 мл). Наночастицы CdS на проводящий Cd электрод ( $1.5 \text{ см}^2$ ) высаживали следующим образом:

- синтезом в водном растворе (аналогично получению пленок CdS на полистирольных подложках);
- электрофоретический концентрат наночастиц CdS (9 нм), полученных в мицеллах, наносили на электрод методом Doctor Blade, затем высушивали на воздухе в течение нескольких часов.

Ячейка освещалась сверху (10-20 см) галогенной лампой (TDM Electric, мощностью 300 Вт). ЭДС ячейки определяли с помощью модуля АЦП Zet-lab 16 (программное обеспечение Zetpanel), связанного с ПК USB-кабелем, и контролировали вольтметром В7-38 (Россия).

**В третьей главе** диссертации представлены механизмы формирования и роста частиц CdS в водных амиачных растворах и обратных микроэмulsionях Tergitol NP-4 в *n*-декане.

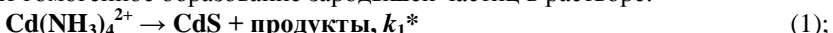
*Динамика роста частиц CdS в микроэмulsionях.* По результатам кинетических исследований, проведенных с помощью спектрофотометрии и ФКС (рис. 1), предложена кинетическая модель тиомочевинного синтеза наночастиц CdS в мицеллах Tergitol NP-4 в *n*-декане.



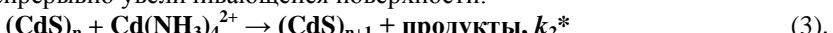
**Рис. 1.** Кинетические исследования: эволюция спектра поглощения реакционной смеси в процессе синтеза наночастиц CdS (сканирование спектра во времени от 4.5 до 553.5 мин с шагом 3 мин,  $T = 323\text{K}$ ) (а); кинетические кривые при  $\lambda = 450$  нм и разных температурах (б):

318 (1), 318 (2), 321 (3), 323 (4), 328 (5) и 333K (6); зависимости гидродинамического диаметра частиц от времени синтеза при  $T = 323\text{K}$  (1а – мода «пустых» мицелл, 1б – мода наночастиц CdS в полимодальном распределении, 2 – мономодальное распределение) (в)

Модель включает две последовательные стадии. На первой происходит гомогенное образование зародышей частиц в растворе:



на второй – их автокаталитический рост за счет гетерогенной реакции на непрерывно увеличивающейся поверхности:



В условиях реакции псевдо-первого порядка по кадмию определены эффективные константы скорости стадий  $k_1^*$  и  $k_2^*$ , а также оценены эффективные энергии активации (табл. 1).

Таблица 1  
Эффективные константы скорости ( $k_1^*$ ,  $k_2^*$ ) и энергии активации ( $E_a$ )

T, K	$k_1^* \cdot 10^3, \text{мин}^{-1}$	$k_2^* \cdot M^{-1} \cdot \text{мин}^{-1}$
321	$1.8 \pm 0.1$	$0.051 \pm 0.002$
323	$2.5 \pm 0.1$	$0.086 \pm 0.002$
328	$4.7 \pm 0.5$	$0.108 \pm 0.007$
333	$15 \pm 9$	$0.49 \pm 0.09$
$E_a, \text{кДж/моль}$	$(16 \pm 9) \cdot 10$	$(15 \pm 3) \cdot 10$

На основе найденных констант по уравнению (4) можно рассчитать зависимость диаметра наночастиц от времени синтеза:

$$d_t^3 = d_{\max}^3 \cdot \beta \cdot \{e^{a't} - 1\} / \{1 + \beta \cdot e^{a't}\} \quad (4),$$

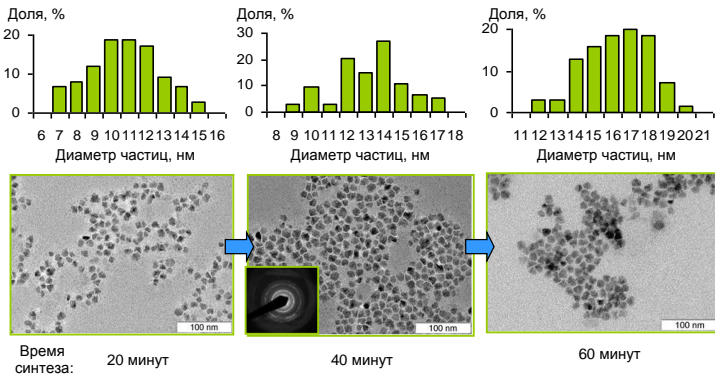
где  $a = k_1^* + k_2^* \cdot c'_{\text{Ca}}$ ,  $\beta = k_1^* / (k_2^* \cdot c'_{\text{Ca}})$ ,  $c'_{\text{Ca}} \approx [\text{Cd}(\text{NH}_3)_4^{2+}]'_t + [\text{CdS}]'_t$ ,  $d_{\max}$  – максимальный диаметр наночастиц CdS.

Предложенная модель согласуется с результатами ФКС при 323 К, полученными в режиме *in situ* (рис. 1 в). Согласно данным мономодального и полимодального распределений на начальном этапе синтеза рост гидродинамического диаметра частиц практически не наблюдается: на этой стадии формируются зародыши наночастиц, размер которых меньше размеров мицелл, поэтому спектрометр фиксирует только мицеллы. Далее, спустя 17-20 минут от начала синтеза, наблюдается постепенный рост частиц.

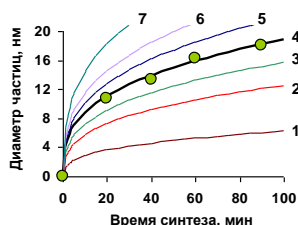
Размер частиц первой моды не меняется во времени, поэтому она была отнесена к «пустым» мицеллам, тогда как вторая мода соответствует мицеллам с частицами CdS и непрерывно увеличивается, достигая значений 100 нм. Данное значение является суммой диаметра наночастицы и удвоенной толщины адсорбционного слоя ПАВ, состоящего из пустых мицелл ПАВ.

Для определения диаметра наночастиц без адсорбционного слоя процесс роста наночастиц прерывали разбавлением реакционной смеси раствором АОТ в *n*-декане. Согласно результатам PALS, добавление АОТ привело также и к формированию поверхностного заряда на наночастицах CdS ( $\zeta$ -потенциал  $6.1 \pm 0.8$  мВ). Наличие поверхностного заряда позволило провести неводный электрофорез, выделить частицы CdS из реакционной среды и измерить их размер методом ПЭМ (рис. 2). Как следует

из полученных данных, временная зависимость диаметра мицелл хорошо описывается уравнением (4) при  $d_{\max} = 30$  нм (рис. 3).



*Рис. 2.* Динамика роста частиц CdS в органозолях (во вставке приведена дифрактограмма наночастиц CdS, полученных в результате синтеза при 323К в течение 40 минут)



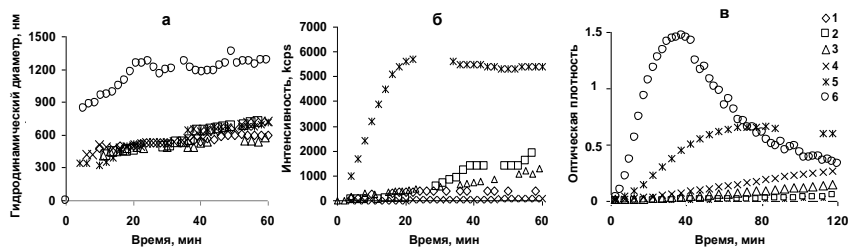
*Рис. 3.* Рассчитанные зависимости диаметра частиц CdS в органозолях при  $d_{\max}$  10 (1), 20 (2), 25 (3), 30 (4 – соответствует данным ПЭМ), 35 (5), 50 нм (6)

( $dV_1/dt$ ,  $(6 \pm 1) \cdot 10^{-1}$   $\text{нм}^3/\text{с}$ ), количеству ( $dN/dt$ ,  $12 \pm 1 \text{ с}^{-1}$ ). Отметим, что численные концентрации частиц CdS, рассчитанные по данным ПЭМ практически не менялись во временном интервале от 20 до 90 минут синтеза; их усредненное значение составило  $4.6 \cdot 10^{15} \text{ л}^{-1}$ . Постоянство концентраций свидетельствует о том, что на второй стадии новых зародышей CdS уже не формируется и подтверждает разработанную кинетическую модель.

Методом РФА (рис. 2) установлено, что частицы CdS в органозолях имеют кристаллическую решетку и являются поликристаллическими с преобладанием нанокристаллов кубической модификации.

*Рост частиц в отсутствии мицеллярного стабилизатора.* Согласно результатам ФКС и спектрофотометрии формирование и рост частиц в объеме водно-аммиачных растворов протекает непрерывно сразу после

смешивания растворов исходных реагентов (рис. 4 а, б, в). Интенсивность светорассеяния и оптическая плотность при 323К проходит через максимум, что свидетельствует о коагуляции и начале седиментации наночастиц.



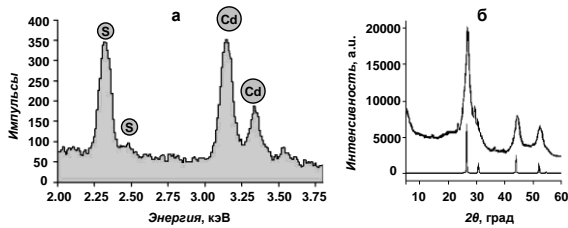
**Рис. 4.** Зависимости эффективного гидродинамического диаметра (**а**), интенсивности светорассеяния (**б**) и оптической плотности на длине волны 400 нм (**в**) золей CdS от времени синтеза при 293 (1), 298 (2), 303 (3), 308 (4), 313 (5), 323 К (6)

К сожалению, в отличие от обратномицеллярных систем, интенсивные коагуляционные и седиментационные процессы не позволяют провести более детальное исследование динамики роста частиц с привлечением кинетических моделей. Тем не менее, на основе полученных результатов процесс нуклеации частиц в отсутствии стабилизатора можно представить следующим образом:

- на первом этапе формируются зародыши наночастиц с размером менее 3-х нм;
- вторая стадия (быстрая коагуляция зародышей) характеризуется скачкообразным формированием «первичных» наночастиц из зародышей;
- на третьей стадии происходит образование и седиментация микрочастиц.

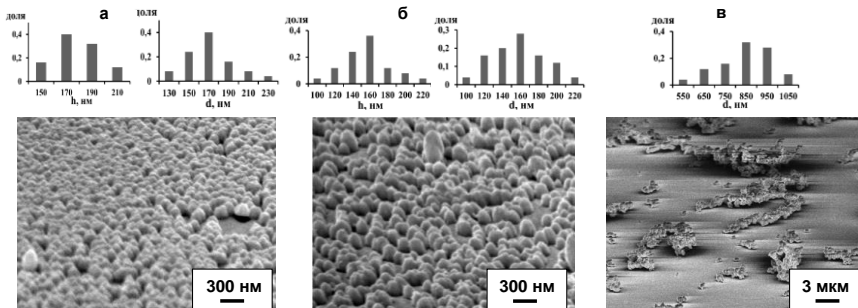
Следует отметить, что при непрерывном фильтровании реакционной смеси формирование и рост наночастиц CdS в объеме не зафиксирован. Таким образом, в отсутствии стабилизаторов невозможно получить стабильные гидрозоли наночастиц CdS, однако, на поверхности кювет появляются равномерно окрашенные пленки.

*Рост частиц на поверхности подложки.* Методами РФА и EDX-анализа и флюoresценции исследованы пленки наночастиц CdS, выращенные на поверхности полистирольной подложки (рис. 5 а, б). Образцы представляют собой химически однородные поверхности CdS. Кристаллическая фаза образца представлена кубической модификацией CdS, а также имеется ряд непроидентифицированных пиков небольшой интенсивности. Спектры люминесценции плёнок, сделанные на разных участках и нормированные на интенсивность при 500 нм, отличались не более чем на 10%, что демонстрирует однородность выращенных плёнок.



*Рис. 5. EDX-спектры (а) и дифрактограммы (б – экспериментальная сверху и теоретическая снизу) наночастиц CdS*

Непрерывное фильтрование реакционной смеси не влияет на динамику роста частиц на поверхности. Согласно данным СЭМ численная концентрация и линейные размеры частиц на поверхности практически одинаковы (рис. 6 а, б). При этом продуктов объемной нуклеации CdS – агломератов частиц неправильной формы (рис. 6 в) – на исследуемых образцах не обнаружено, следовательно, процессы объемной нуклеации не влияют на динамику роста частиц на поверхности.



*Рис. 6. СЭМ-изображения наночастиц CdS на полистирольных подложках: синтез без фильтрования (а), синтез при непрерывном фильтровании (б), седиментат, высаженный на горизонтальную подложку ( $h$  – высота,  $d$  – диаметр основания наночастицы) (в)*

### Смачиваемость полученных пленок

Водный тиомочевинный синтез в отсутствии стабилизаторов позволяет получать пленки CdS с однородной морфологией поверхности (рис. 6 а).

Характер морфологии рельефа пленки влияет на её поверхностные свойства, а также взаимодействия с различными растворителями. Смачиваемость поверхности является одним из определяющих факторов при оценке возможности использования пленочных материалов CdS: гидрофильные пленки CdS активно применяются в устройствах с жидкостным контактом (электродах и фотовольтаических ячейках), супергидрофобные системы CdS хорошо зарекомендовали себя в качестве фильтров по очистке воды от нефтяных загрязнений.

Для оценки возможности использования пленок CdS, полученных в результате водного тиомочевинного синтеза (в течение 3 часов при 323К без фильтрования), в указанных приложениях были проведены дополнительные исследования смачиваемости данных систем.

*Определение шероховатости пленок.* Основным параметром, отражающим характер морфологии поверхности пленки CdS, является её коэффициент шероховатости  $K_{\text{Cas}}$ . Оценка этого параметра проводилась двумя способами.

*Первый (косвенный) способ* заключался в оценке  $K_{\text{Cas}}$  с помощью уравнения Вентцеля:

$$\cos\theta_{\text{Cas}} = K_{\text{Cas}} \cos\theta_{\text{гл, Cas}} \quad (5),$$

в котором  $\theta_{\text{Cas}}$  – значение наблюдаемого краевого угла на шероховатой химически однородной поверхности CdS,  $\theta_{\text{гл,Cas}}$  – значение краевого угла смачивания на гладкой химически однородной поверхности CdS.

Поскольку на данный момент в литературе отсутствуют значения  $\theta_{\text{гл,Cas}}$ , использовать уравнение (5) напрямую для оценки  $K_{\text{Cas}}$  не представляется возможным. Для корректной оценки искомого значения  $K_{\text{Cas}}$  поверхности чистого полистирола и пленки CdS были металлизированы тонкой Au-Pd пленкой (толщиной 3-5 нм) с помощью технологии магнетронного напыления и далее повторно исследованы методом определения краевых углов. Поскольку толщина пленки CdS в среднем составляла 180 нм, нанесение тонкой пленки Au-Pd на чистый полистирол и пленку CdS позволяет получать химически однородные металлизированные образцы с сохранением морфологии нижнего подслоя, вследствие чего справедливо следующее допущение:  $K_{\text{Au-Pd}} \approx K_{\text{Cas}}$ . В результате искомый коэффициент шероховатости может быть найден по уравнению Вентцеля для металлизированных поверхностей:

$$\cos\theta_{\text{Au-Pd}} \approx K_{\text{Cas}} \cos\theta_{\text{гл, Au-Pd}} \quad (6).$$

Результаты расчетов представлены в табл. 2.

Т а б л и ц а 2  
Краевые углы воды, формамида и диэтиленгликоля на различных поверхностях  
(коэффициенты  $K$  рассчитаны по уравнению Вентцеля и данным СЭМ)  
( $T = 298\text{K}$ ,  $p = 1$  бар)

Система	$\theta, ^\circ$			$K$	
	Вода	Формамид	Диэтиленгликоль	Уравнение Вентцеля	Данные СЭМ
Полистирол	$79.0 \pm 0.4$	$59.2 \pm 0.2$	$43.5 \pm 0.2$	1	1
CdS / полистирол	$46.1 \pm 0.3$	$25.6 \pm 0.9$	$23.8 \pm 0.1$	2.77	2.49
Au-Pd / полистирол	$73.7 \pm 0.3$	0	$43 \pm 2$	1	1
Au-Pd / CdS / полистирол	$39.8 \pm 0.4$	0	$14.4 \pm 0.3$	2.77	2.49
CdS <sub>гл.</sub> (рассчитанные данные)	$76 \pm 2$	$70 \pm 2$	$69 \pm 1$	1	1
ITO-стекло	$93 \pm 1$	$60.8 \pm 0.8$	$58.5 \pm 0.2$	1	1

В соответствии со вторым способом значение  $K_{CdS}$  оценивается из данных СЭМ:

$$K_{CdS} = S_{\text{факт}} / S_0 \quad (7),$$

где  $S_{\text{факт}}$  – суммарная площадь поверхности наночастиц CdS (за исключением поверхности, контактирующей с подложкой),  $S_0$  – площадь проекции этой поверхности на горизонтальную плоскость.

Поверхность пленки CdS состоит из поверхностей осажденных наночастиц CdS и свободных гладких участков подложки, не занятых частицами. Согласно данным СЭМ и ААС, осажденные наночастицы CdS имеют форму вытянутых полуэллипсоидов с площадью поверхности ( $S_{14}^{\text{нов}}$ ) и площадью основания ( $S_{14}^{\text{осн}}$ ). В итоге коэффициент шероховатости из данных сканирующей микроскопии рассчитывали следующим образом:

$$K_{CdS} = 1 + [N_{14} \cdot (S_{14}^{\text{нов}} - S_{14}^{\text{осн}})] / S_0 \quad (8),$$

где  $N_{14}$  – число частиц на полистирольной подложке площадью  $S_0$ . Расчеты  $S_{14}^{\text{нов}}$  проводили по усредненным значениям радиуса основания ( $r_{cp} = 85$  нм) и высоты ( $h_{cp} = 178$  нм) частиц CdS. Результаты оценки  $K_{CdS}$  также представлены в табл. 2.

Разница между значениями  $K_{CdS}$  составила менее 10 % и обусловлена упрощенной процедурой расчета с применением усредненных значений:  $r_{cp}$  и  $h_{cp}$ .

*Оценка параметров смачивания гладкой поверхности CdS.* Полученные значения  $K_{CdS}$  позволяют рассчитать параметры  $\theta_{\text{гл,CdS}}$  для различных тестовых жидкостей, используя уравнение (5). Результаты оценки представлены в табл. 2. Для воды краевой угол составил 76 °. Таким образом, гладкая, химически однородная поверхность CdS является гидрофильной.

Найденные значения углов смачивания были использованы для оценки энергетических параметров гладкой поверхности CdS по моделям Оуэнса-Вендта и Ву. Результаты расчета удельной свободной поверхностной энергии твердой поверхности ( $E_{\text{tb}}$ ) и её полярной ( $E_{\text{tb}}^{\text{п}}$ ) и дисперсионной составляющих ( $E_{\text{tb}}^{\text{д}}$ ) приведены в табл. 3.

Таблица 3

Удельные свободные поверхностные энергии твердых поверхностей  
( $T = 298\text{K}$ ,  $p = 1$  бар)

Система	Модель Оуэнса-Вендта			Модель Ву		
	$E_{\text{tb}}^{\text{д}}$ , мДж/м <sup>2</sup>	$E_{\text{tb}}^{\text{п}}$ , мДж/м <sup>2</sup>	$E_{\text{tb}}$ , мДж/м <sup>2</sup>	$E_{\text{tb}}^{\text{д}}$ , мДж/м <sup>2</sup>	$E_{\text{tb}}^{\text{п}}$ , мДж/м <sup>2</sup>	$E_{\text{tb}}$ , мДж/м <sup>2</sup>
Полистирол	$25.5 \pm 0.2$	$8.4 \pm 0.1$	$33.9 \pm 0.5$	$22.2 \pm 0.2$	$14.4 \pm 0.1$	$36.5 \pm 0.4$
ITO-стекло	$30.1 \pm 0.4$	$2.0 \pm 0.1$	$32 \pm 2$	$21.6 \pm 0.3$	$8.5 \pm 0.1$	$30.1 \pm 0.5$
CdS <sub>гл</sub>	$9.4 \pm 0.5$	$18.8 \pm 0.9$	$28 \pm 2$	$12.3 \pm 0.6$	$21 \pm 1$	$33 \pm 2$

Термодинамические параметры коррелируют друг с другом и в целом совпадают. Значение  $E_{\text{tb}}$  поверхности составляет 28-33 мДж/м<sup>2</sup>, следовательно, в соответствии с общепринятой классификацией гладкая поверх-

ность CdS является низкоэнергетической. При этом значения энергии близки к соответствующим параметрам ИТО-стекла и полистирола. Тем не менее, соотношения сил межфазного взаимодействия этих систем существенно отличаются. На это указывают разные соотношения дисперсионной и полярной составляющих. Для гладкого CdS  $E_{\text{тв}}^{\text{n}} > E_{\text{тв}}^{\text{d}}$ , следовательно, полярные взаимодействия преобладают над дисперсионными, тогда как, для ИТО-стекла и полистирола имеет место обратная ситуация.

Отметим, что значения  $E_{\text{тв}}$  для гладких поверхностей ИТО-стекла и полистирола соответствуют литературным данным.

Рассчитанные значения углов смачивания  $\theta_{\text{гл,CdS}}$  для различных тестовых жидкостей были использованы для оценки работы адгезии ( $W_a$ ) и коэффициента растекания ( $W_a - W_c$ ) тестовых жидкостей на гладкой поверхности CdS. Расчет работы адгезии производился по уравнению Дюпре-Юнга, для оценки коэффициентов растекания использовали табличные значения работы когезии воды, формамида и диэтиленгликоля: 145.6, 116.4 и 90.4 мДж/м<sup>2</sup>, соответственно. Полученные значения для гладких поверхностей CdS, полистирола и ИТО-стекла представлены в табл. 4.

Т а б л и ц а 4

**Работы адгезии и коэффициенты растекания воды, формамида и диэтиленгликоля на гладких, химически однородных поверхностях  
( $T = 298\text{K}$ ,  $p = 1$  бар)**

Подложка	Вода		Формамид		Диэтиленгликоль	
	$W_a$ , мДж/м <sup>2</sup>	$W_a - W_c$ , мДж/м <sup>2</sup>	$W_a$ , мДж/м <sup>2</sup>	$W_a - W_c$ , мДж/м <sup>2</sup>	$W_a$ , мДж/м <sup>2</sup>	$W_a - W_c$ , мДж/м <sup>2</sup>
Полистирол	$86.7 \pm 0.5$	$-58.9 \pm 0.3$	$88.0 \pm 0.3$	$-28.4 \pm 0.1$	$78.0 \pm 0.8$	$-12.4 \pm 0.2$
ITO-стекло	$69.0 \pm 0.7$	$-76.6 \pm 0.8$	$87 \pm 1$	$-29.8 \pm 0.3$	$68.8 \pm 0.7$	$-21.6 \pm 0.3$
CdS <sub>гл</sub>	$90 \pm 2$	$-55 \pm 1$	$78 \pm 2$	$-38 \pm 1$	$61 \pm 1$	$-29.0 \pm 0.5$

Значения  $W_a$  на гладкой поверхности CdS и на полистирольной подложке снижаются с уменьшением полярности тестовой жидкости, тогда как  $W_a - W_c$  – наоборот – увеличиваются. Таким образом, по адгезионным свойствам к вышеуказанным растворителям гладкая химически однородная поверхность CdS близка к гладким полистирольным подложкам.

Значения  $E_{\text{тв}}$ , рассчитанные по моделям Оуэнса-Вендта и Ву (табл. 3), позволяют оценить  $W_a$  гладкой пленки CdS к различным твердым подложкам, а также  $W_c$ , используя уравнения (9) и (10):

$$W_a = E_{\text{CdS}} + E_{\text{подл}} - ((E_{\text{CdS}})^{1/2} - (E_{\text{подл}})^{1/2})^2 \quad (9);$$

$$W_c = 2 \cdot E_{\text{тв}} \quad (10),$$

где  $E_{\text{CdS}}$  и  $E_{\text{подл}}$  – это удельные свободные поверхностные энергии гладких поверхностей CdS и твердой подложки, соответственно. При этом применялось следующее приближение:  $E_{\text{CdS-подл}} \approx ((E_{\text{CdS}})^{1/2} - (E_{\text{подл}})^{1/2})^2$ . Полученные значения представлены в табл. 5.

Значения работы адгезии гладкой пленки CdS к твердым подложкам варьируются от 60 до 69 мДж/м<sup>2</sup> в зависимости от материала подложки.

При этом работа когезии гладкой пленки CdS меньше соответствующих значений полистирола и составляет  $56\text{--}66 \text{ мДж/м}^2$ .

Т а б л и ц а 5

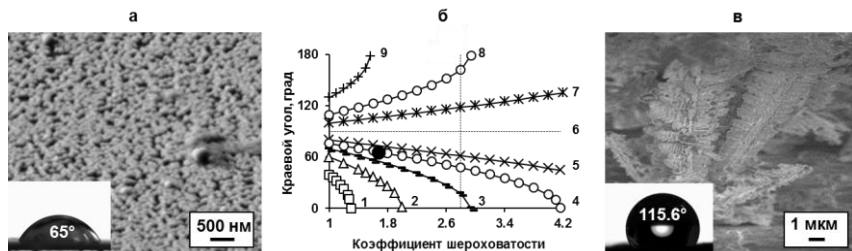
**Работа адгезии гладкой пленки CdS к гладким подложкам с разной когезией ( $T = 298\text{K}$ ,  $p = 1$  бар)**

Система	Модель Оуэнса-Вендта		Модель Ву	
	$W_a \text{ мДж/м}^2$	$W_c \text{ мДж/м}^2$	$W_a \text{ мДж/м}^2$	$W_c \text{ мДж/м}^2$
Полистирол	$62 \pm 6$	$68 \pm 1$	$69 \pm 6$	$73.0 \pm 0.8$
ITO-стекло	$60 \pm 8$	$64 \pm 4$	$63 \pm 6$	$60 \pm 1$
CdS <sub>гл</sub>	—	$56 \pm 4$	—	$66 \pm 4$

*Гомогенное смачивание поверхности.* Информация о смачиваемости гладкой химически однородной поверхности CdS позволяет предсказать параметры смачивания любой шероховатой химически однородной поверхности CdS в условиях гомогенного смачивания.

Для подтверждения проведенных оценок нами были получены пленки CdS на предметном стекле с меньшей шероховатостью (рис. 7 а,  $K_{CdS} = 1.68$  рассчитан по вышеописанным методикам). Экспериментально определенный краевой угол составил  $65.2 \pm 0.4^\circ$ , что очень близко к рассчитанному значению ( $63 \pm 2^\circ$ ) (черная точка на рис. 7 б).

Поскольку гладкая, химически однородная поверхность является гидрофильной, дальнейшее повышение коэффициента шероховатости поверхности должно приводить к увеличению гидрофильных свойств (рис. 7 б). Таким образом, в условиях гомогенного смачивания невозможно получить гидрофобные и супергидрофобные образцы CdS.



**Рис. 7.** Пленка CdS на предметном стекле (данные СЭМ и метода определения краевых углов) (а); рассчитанные в условиях гомогенного смачивания зависимости наблюдаемого краевого угла от коэффициента шероховатости при  $\theta_{ca} 40$  (1), 60 (2), 70 (3), 76 (4, черная точка) соответствует пленке CdS на предметном стекле), 80 (5), 90 (6), 100 (7), 110 (8), 130 ° (9) (б); микрообъекты CdS на Al фольге (данные СЭМ и метода определения краевых углов) (в)

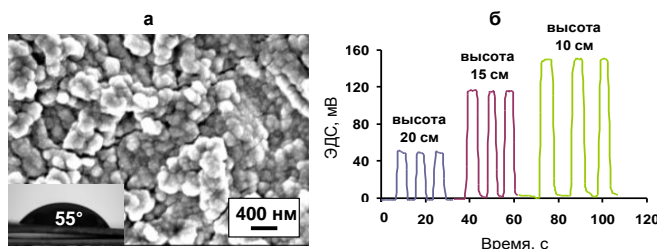
*Гетерогенное смачивание поверхности.* Поскольку гладкая поверхность CdS является гидрофильной, то, согласно теории [4], в условиях глобального максимума невозможно создать гидрофобные и супергидрофобные поверхности из этого материала. Тем не менее, для подобных

систем существует условие возникновения локального минимума свободной энергии Гиббса, при котором теоретически возможен переход от гомогенного к гетерогенному смачиванию, а также создание гидрофобных и супергидрофобных систем CdS. Для этого необходимо сконструировать нанотекстуру с воздушными карманами сложной «бутылочной формы». В рамках диссертационной работы теоретические выводы подкреплены экспериментальными результатами, а именно: удалось получить гидрофобные системы из гидрофильтрного CdS путем выращивания крупных дендритных структур на поверхности Al пищевой фольги (рис. 7 в).

### Оценка возможности практического использования наноматериалов CdS

*Применение CdS в фотовольтаике.* В заключительной части этой главы рассмотрены возможности использования гидрофильных ( $\theta \approx 55^\circ$ ,  $K_{CdS} = 2.25$ ) систем CdS / Cd (рис. 8 а) в качестве фотоанодов в фотовольтаических преобразователях солнечной энергии. Проводящая подложка в виде металлического кадмия в сочетании с гидрофильтрным покрытием демонстрируют хороший фотовольтаический отклик в ячейке с полисульфидным электролитом (рис. 8 б). Эффект наблюдается при разных расстояниях от источника света и хорошо воспроизводится.

Аналогичные исследования фотовольтаических свойств органозолей наночастиц, полученных в результате мицеллярного синтеза, показали, что пленки на их основе также проявляют фотовольтаические свойства, однако, значение ЭДС было примерно на 30% ниже соответствующих значений водных систем CdS.



*Rис. 8. Система CdS / Cd: данные СЭМ и метода определения краевых углов (а), значения ЭДС фототока в системе Cd/CdS/Na<sub>2</sub>S<sub>3</sub>/Pt (б)*

Таким образом, гидрофильные шероховатые пленки CdS являются перспективными системами для фотовольтаических приложений.

*Фотокаталитическая активность CdS.* На рис. 9 а, б представлены эволюции спектров обратномицеллярных растворов с красителем в результате облучения УФ-светом с добавлением и без наночастиц CdS. Для обеих систем на спектрах поглощения отчетливо видно, что красителю «малахитовый зеленый» соответствуют две полосы поглощения (424

и 636 нм). Уменьшение оптической плотности для обеих полос с увеличением времени облучения свидетельствует о деструкции красителя (рис. 9 а, б, в).

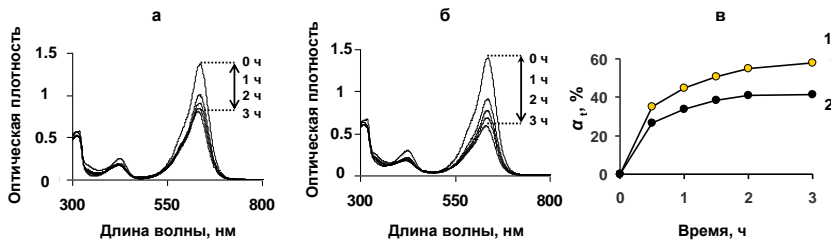


Рис. 9. Эксперименты по фотодеградации красителя «малахитовый зеленый» в обратных микроэмulsionях АОТ: эволюция спектров для систем без (а) с добавлением частиц CdS (9 нм) (б) зависимости доли фотодеструкции красителя при добавлении (1) и при отсутствии частиц CdS (2) (в)

Для корректной оценки скорости деструкции красителя была рассчитана доля разложения красителя ( $\alpha_t$ , %) с добавлением и без добавления наночастиц CdS (ориентируясь по полосе 636 нм). На третий час облучения УФ светом доля разложения красителя при наличии частиц CdS составила **58%**, а при их отсутствии – **41%**.

Аналогичные исследования пленок CdS, полученных в результате водного тиомочевинного синтеза, показали очень слабую фотокаталитическую активность соответствующих систем по сравнению с органозолями наночастиц: на 3-й час облучения степень разложения красителя в присутствии пленок CdS составила **34.4 %**, тогда как, в отсутствии пленок – **33.1 %**.

Таким образом, органозоли наночастиц CdS обладают наилучшей фотокаталитической активностью и могут быть использованы при фотодеструкции красителей.

### Заключение

Полученные результаты позволяют проследить некоторые общие закономерности формирования наночастиц CdS в изученных системах. В мицеллярных нанореакторах и на поверхности полистирольных подложек рост наночастиц происходит за счет протекания поверхностных реакций при неизменной численной концентрации наночастиц. При этом скорости прироста каждой частицы на подложке значительно выше, чем в мицеллах ПАВ. В отсутствии пространственных ограничений нуклеация частиц в объеме водных растворов протекает не контролируемо и сопровождается коагуляционными и седиментационными процессами.

## **Основные результаты и выводы**

1. Установлены основные закономерности образования и роста наночастиц CdS в обратномицеллярных растворах Tergitol NP-4 в *n*-декане:
  - на первой стадии происходит образование зародышей по реакции псевдопервого порядка ( $k_1^* = 3 \cdot 10^{-6} - 8 \cdot 10^{-5} \text{ с}^{-1}$ ,  $E_{a1} = 156 \text{ кДж/моль}$ );
  - на второй стадии происходит автокаталитический рост наночастиц CdS по реакции второго порядка ( $k_2^* = 4 \cdot 10^{-2} - 6 \cdot 10^{-2} \text{ M}^{-1} \cdot \text{с}^{-1}$ ,  $E_{a2} = 149 \text{ кДж/моль}$ ); при этом зависимость объема наночастицы от времени близка к прямолинейной;
  - на основе установленных закономерностей предложена методика получения стабильных органозолей наночастиц CdS с кинетически контролируемым размером (9-18 нм).
2. Показано, что в отсутствие мицеллярных нанореакторов процессы образования наночастиц CdS в объеме водной фазы и на поверхности полистирольных подложек в избытке реагентов протекают независимо друг от друга.
3. Методом краевых углов исследована смачиваемость полученных пленок:
  - предложен оригинальный подход использования уравнения Вентцеля для определения шероховатости пленок с наночастицами;
  - рассчитаны краевые углы ( $76 \pm 2$ ,  $70 \pm 2$  и  $69 \pm 2^\circ$  для воды, формамида и диэтилэнгликоля, соответственно) и удельные свободные поверхностные энергии ( $28 \pm 2$  и  $33 \pm 2 \text{ мДж/м}^2$  по моделям Оуэнса-Вендта и Ву, соответственно) для идеально гладкой, химически однородной поверхности CdS.
4. Продемонстрирована возможность применения гидрофильных пленок CdS в качестве фотоанодов в фотовольтаических преобразователях солнечной энергии, а мицеллярных органозолей с 9 нм наночастицами – для фотодеструкции красителей.

## **Основное содержание диссертации изложено в следующих работах:**

1. Булавченко А.И., Колодин А.Н., Демидова М.Г., Подлипская Т.Ю., Максимовский Е.А., Гевко П.Н., Корольков И.В., Рахманова М.И., Ларионов С.В., Окотруб А.В. Механизм формирования наночастиц сульфида кадмия на полистирольных подложках из аммиачно-тиомочевинных растворов // Журн. физ. химии. – 2016. – Т. 90, № 4. – С. 592-597.
2. Булавченко А.И., Колодин А.Н., Подлипская Т.Ю., Демидова М.Г., Максимовский Е.А., Бейзель Н.Ф., Ларионов С.В., Окотруб А.В. Исследование образования наночастиц сульфида кадмия в аммиачно-тиомочевинных растворах методами фотон-корреляционной спектроскопии и спектрофотометрии // Журн. физ. химии. – 2016. – Т. 90, № 5. – С. 768-772.

3. *Kolodin A.N., Tatarchuk V.V., Bulavchenko A.I., Poleeva E.V. Synthesis and Electrophoretic Concentration of Cadmium Sulfide Nanoparticles in Reverse Microemulsions of Tergitol NP-4 in n-Decane // Langmuir.* – 2017. – V. 33, N. 33. – P. 8147-8156.
4. Окотруб А.В., Булушева Л.Г., Ларионов С.В., Булавченко А.И., Асанов И.П., Каныгин М.А., Гевко П.Н., Федосеева Ю.В., Гусельников А.В., Куреня А.Г., *Колодин А.Н., Демидова М.Г., Подлипская Т.Ю. Синтез и свойства гибридных наноструктур CdS-УНТ // XVIII конкурс-конференция научных работ имени академика А.В. Николаева: тез. докл.* – Новосибирск, 2014. – С. 24.
5. *Колодин А.Н., Булавченко А.И., Демидова М.Г., Максимовский Е.А., Подлипская Т.Ю. Закономерности формирования наночастиц сульфида кадмия и пленок на их основе в водных тиомочевинных системах // IV Международная конференция «Супрамолекулярные системы на поверхности раздела»: тез. докл.* – Туапсе, 2015. – С. 45.
6. *Колодин А.Н., Булавченко А.И., Татарчук В.В., Полеева Е.В. Синтез и рост нанокристаллов CdS в супрамолекулярных мицеллярных системах Tergitol Np-4/ n-декан и перспективы их применения в качестве фотостабилизаторов // VI Международная конференция по физической химии краун-соединений, порфиринов и фталоцианинов: тез. докл.* – Туапсе, 2016. – С. 34.
7. *Колодин А.Н. Изучение смачиваемости на гладкой химически однородной поверхности CdS // Конкурс-конференция молодых учёных, посвященная 60-летию ИНХ СО РАН: тез. докл.* – Новосибирск, 2017. – С. 12.

#### **Список цитируемой литературы:**

- [1] Kozhevnikova N.S., Rempel A.A., Hergert F., Magerl A. Structural study of the initial growth of nanocrystalline CdS thin films in a chemical bath // Thin Solid Films. – 2009. – V. 517, N. 8. – P. 2586-2589.
- [2] Okotrub A.V., Asanov I.P., Larionov S.V., Kudashov A.G., Leonova T.G., Bulusheva L.G. Growth of CdS nanoparticles on the aligned carbon nanotubes // Phys. Chem. Chem. Phys. – 2010. – V. 36, N. 12. – P. 10871-10875.
- [3] Kuo S., Osterle F. High Field Electrophoresis in Low Conductivity Liquids // J. Colloid Interface Sci. – 1967. – V. 25. – P. 421-426.
- [4] Marmur A. From Hygrophilic to Superhydrophobic: Theoretical Conditions for Making High-Contact-Angle Surfaces from Low-Contact-Angle Materials // Langmuir. – 2008. – V. 24, N. 14. – P. 7573-7579.



**КОЛОДИН Алексей Никитич**

**ЗАКОНОМЕРНОСТИ ФОРМИРОВАНИЯ НАНОЧАСТИЦ  
СУЛЬФИДА КАДМИЯ И ПЛЕНОК НА ИХ ОСНОВЕ В ВОДНЫХ  
И ОБРАТНОМИЦЕЛЛЯРНЫХ СИСТЕМАХ**

---

Изд. лиц. ИД № ИД № 04060 от 20.02.2001.

Подписано к печати и в свет 14.03.2018г.

Формат 60×84/16. Бумага № 1. Гарнитура “Times New Roman”

Печать офсетная. Печ. л. 1,2. Уч.-изд. л. 1,1. Тираж 120. Заказ № 48

Федеральное государственное бюджетное учреждение науки

Институт неорганической химии им. А.В. Николаева

Сибирского отделения Российской академии наук

Просп. Акад. Лаврентьева, 3, Новосибирск, 630090